

東大防災研究所 正員 村本嘉雄

開水路弯曲流の内部機構は前報で述べたように、温度変化の特性より、弯曲部における発生域、遷移領域(発達域)、一樣域(完全発達域)と下流直線部による減衰域に分けた考査がなされている。こうした領域区分は、境界面を限定した小規模流、渦渦拡散など物理量の分布を領域区分と同様に侧面まで、つまり、現象の初期状態と最終状態の比較と同時に各領域の存在範囲を明確にする必要がある。

本報告では、境界条件、水理条件、黒字は若干の実験結果より温度の変化(山か子山)領域区分を検討し、実河川の領域区分を推測する上に重要な初期状態(発生域)をつくり、底面せん断応力の影響を考慮した解析を試みる。

### 1. 温度変化的実験的検討と実河川の領域区分の予測

弯曲偏角 $\Theta = 90^\circ$ 、曲率半径比 $R_c' = 1, 3 = 2$ 種の弯曲水路(表面端化 $c = -w : m = 0.0095, i = 1/500$ )で行うと流速、流向測定値より算定した $\zeta, \gamma, \xi$ の流れ方向の变化を図示すれば図1、図2となる。同様に $\Theta = 180^\circ, R_c' = 3, i = 1/500 (Fr = 0.57)$ とすると $i = 1/200 (Fr = 0.88)$ の二種の弯曲水路(表面勾配 $c = -w : m = 0.013$ )で $\zeta, \gamma, \xi$ の變化は図3のようになる。

$R_c' = 1$ の場合、 $x = 0 \sim 75^\circ$ の領域で $\zeta \sim 0, \gamma \sim \gamma_s (= \text{const.}), \xi \sim 0$ である、発生域の特性を示す、温度降低率の計算式は式(1)と一致する。また、 $x = 75^\circ \sim 1m$ では遷移領域、 $x = 2m$ 以降では減衰域に相当するとして考査される。

$R_c' = 3$ の場合、図2、図3におけるも $x = 0 \sim 60^\circ$ で発生域、 $x = 60^\circ \sim 1m$ で遷移領域、 $x = 2m$ 以降では減衰域の特性を示すとおり、水路条件 $\Theta, i, m$ および水理条件 $Re, Fr$ の差違は領域の存在範囲と影響を与えることになる。

これら諸条件の影響についてはまだ実験的検討が必要であるが、現段階では $R_c'$ を主要条件とし、偏角の大きさより各領域の存在範囲を予測することができるよう。

つづいて、実河川における $R_c'$ と $\Theta$ と対応を知るために「全国主要河川の資料」<sup>1)</sup>およびMississippi川、Missouri川の平均値<sup>2)</sup>を用意すると図4のようになる。図4は発生域の限界線を二種子に行き、左開水路の実験値より決定したもので、一样域の限界線は曲管の形状損失<sup>3)</sup>による実験式<sup>3)</sup>から一样域との取り扱い可能範囲を求めたものである。この図より、一方の自变量度である、実河川の弯曲部は

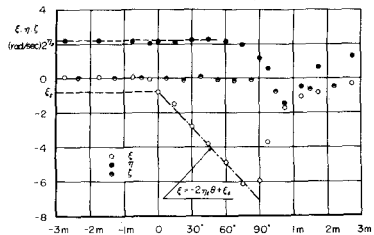


図1 温度の変化 ( $\Theta = 90^\circ, R_c' = 1, Re = 3.4 \times 10^4, Fr = 0.58$ )

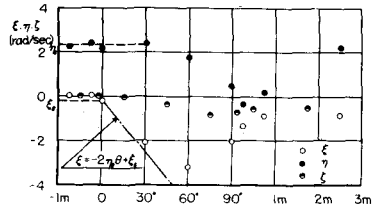


図2 温度の変化 ( $\Theta = 90^\circ, R_c' = 3, Re = 3.2 \times 10^4, Fr = 0.56$ )

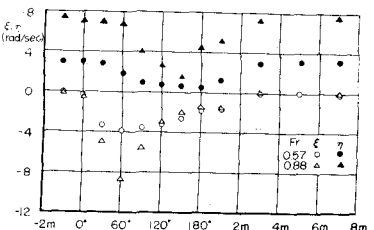


図3 温度の変化 ( $\Theta = 180^\circ, R_c' = 3, Re = 2 \times 10^4, Fr = 0.57, Re = 5 \times 10^4, Fr = 0.88$ )

おりでは、全領域と一樣域とす了单纯な取り扱いはできまじく、発生域および遷移領域の支配的役割を考慮しなければならぬ。

## 2. 発生域に関する解析

図2の分布が示されたる如く、発生域におけるも温度保存則よりよく近似式では十分である、表面熱伝導をせん断熱伝導と考慮する必要がある。したがって、"乱流・取り扱い"、"成層"、"Potential flow"など表面に起因する多成分の界面のせん断熱伝導規則などを考へると、主に因する温度式はつまゝようなる表わしがある。

$$\gamma \eta_s \frac{\partial}{\partial r} \left( \frac{U}{r} \right) - U \frac{\partial}{\partial \theta} \left( \frac{\xi}{r} \right) = - \epsilon \frac{\partial^2 \xi}{\partial z^2} \quad (1)$$

$z = r'$ 、層流の場合  $\epsilon = V$ 、  $\eta_s = \frac{U_0}{V} (1 - z')$

$$\text{乱流の場合 } \epsilon = k h u_* z' \sqrt{1-z'}, \eta_s = \frac{U_0}{k h} \frac{\sqrt{1-z'}}{z'}$$

したがって、 $z$ 、 $z' = z/h$ 、 $h$ :水深、 $u_*$ :主流方向の摩擦速度である。図4 実測川の領域区分と予測また、 $\eta_s$ の変形、 $\xi$ の移送係数と主流速と  $U = C/r$  ( $C = \text{const}$ ) と仮定すると、(1)式は

$$\frac{\partial \xi}{\partial \theta} = -2 \eta_s + C \frac{r^2}{Ch^2} \frac{\partial^2 \xi}{\partial z^2} \quad (2)$$

となる。つまり、 $\frac{\partial \xi}{\partial \theta} = 0$ 、 $\frac{\partial \xi}{\partial \theta} \neq 0$  の場合について上式の解を求める。

(i)  $\frac{\partial \xi}{\partial \theta} = 0$  の場合；  $\xi = -\frac{\partial U}{\partial z}$  とおき、境界条件として、 $z' = 0$  で  $U = 0$ 、 $z' = 1$  で  $\xi = 0$  および  $\int' U dz' = 0$  を用いて(2)式より  $\xi$ 、 $U$  を求めるとつきのようになる。

$$(a) 層流 \quad \xi = -\frac{C}{15r^2} \left( \frac{U_0 h}{V} \right)^2 (5z'^3 - 15z'^2 + 12z' - 2) \quad (3)$$

$$U = \frac{Ch}{60r^2} \left( \frac{U_0 h}{V} \right)^2 (5z'^4 - 20z'^3 + 24z'^2 - 8z') \quad (4)$$

$$(b) 乱流 \quad \xi = -\frac{C}{2\kappa^2 r^2} (4 \ln z' - 9z' + 9) \quad (5)$$

$$U = \frac{Ch}{4\kappa^2 r^2} (8z' \ln z' - 9z'^2 + 10z') \quad (6)$$

(ii)  $\frac{\partial \xi}{\partial \theta} \neq 0$  の場合； (2)式で  $\xi(0, z) = \xi_1(0, z) + \frac{2C}{r^2} \int \int \frac{\eta_s}{6} dz dz'$  とおき、差解を求める。主としての手順を示す。

$$(a) 層流 \quad \xi = \frac{A_1}{r^2} \exp \left\{ -\frac{Ch^2 z'^2}{4Vr^2} \right\} - \frac{C}{3r^2} \left( \frac{U_0 h}{V} \right)^2 (z'^3 - 3z'^2) \quad (7)$$

$$(b) 乱流 \quad \xi = \frac{A_2}{r^2} \exp \left\{ -\frac{Ch^2 t^2}{4\kappa^2 r^2} \right\} - \frac{2C}{\kappa^2 r^2} \ln z' \quad (8)$$

$$\text{ここで } t = \int^{z'} \frac{dz'}{\sqrt{z'^2 - 1}} \quad , \quad A_1, A_2 : \text{定数}$$

以上の諸式から、各案と実験結果との比較検討は簡略略して報告する。

- 1) 総覽：土木技術資料 5-4. (1962)
- 2) Ben-Chie Yeh : Bull. of State Univ. of Iowa (1965)
- 3) 伊藤：Trans. ASME. Series D vol. 81 (1960)

